

本日は、q-fast trie というデータ構造を取り扱います。



## q-fast tries



2020年度前期 高度データ構造

## 前回のおさらい

---

- ▶ 全体集合を  $U = \{0, 1, 2, \dots, u-1\}$  とし,  $S \subseteq U$  とする
  - ▶  $u$ :  $U$  の要素数,  $n$ :  $S$  の要素数
  - ▶ 先週のデータ構造: p-fast tries [Willard 1984]
    - クエリ・操作時間:  $O(\sqrt{\log u})$
    - 領域:  $O(n\sqrt{\log u} 2^{\sqrt{\log u}})$
  - ▶ 今週のデータ構造: q-fast tries [Willard 1984]
    - クエリ・操作時間:  $O(\sqrt{\log u})$
    - 領域:  **$O(n)$**
- 

前回の講義では p-fast trie について解説しました。

全体集合のサイズを  $u$  としたとき、各クエリ・操作を  $O(\sqrt{\log u})$  時間で実現する

$O(n\sqrt{\log u} 2^{\sqrt{\log u}})$  領域の p-fast trie が存在することを示しました。

今週は、このクエリ・操作時間を同じ  $O(\sqrt{\log u})$  に保ったまま、 $S$  の要素数  $n$  に線形な  $O(n)$  領域のデータ構造 q-fast trie について解説します。

## q-fast trie [定義]

- ▶ q-fast trie: p-fast trie の領域計算量を  $O(n\sqrt{\log u} 2^{\sqrt{\log u}})$  から  $O(n)$  に改良したデータ構造
- ▶ ある正整数  $c$  について,  $S$  をそれぞれ要素数  $c \sim 2c-1$  の部分集合に分割する
- ▶ 各部分集合  $S_i$  について, AVL tree を作り,  $\max(S_{i-1}) < z_i \leq \max(S_i)$  を満たす整数  $z_i$  と対応づける
- ▶ この整数の集合  $Z = \{z_1, z_2, \dots\}$  に対する p-fast trie を作る
- ▶ この p-fast trie と複数の AVL tree から構成される q-fast trie のサイズを  $(h, b, c)$  と書く

では、q-fast trie について解説します。

基本的には、q-fast trie は、p-fast trie と複数の AVL tree を組み合わせたデータ構造です。

まず、ある正整数  $c$  について、 $S$  をそれぞれ要素数  $c \sim 2c-1$  の部分集合に分割します。

次に、 $S$  の各部分集合  $S_i$  に対する AVL tree を作り、それを  $\max(S_{i-1}) < z_i \leq \max(S_i)$  を満たす整数  $z_i$  と対応づけます。

この整数の集合  $Z = \{z_1, z_2, \dots\}$  に対する p-fast trie を作ります。

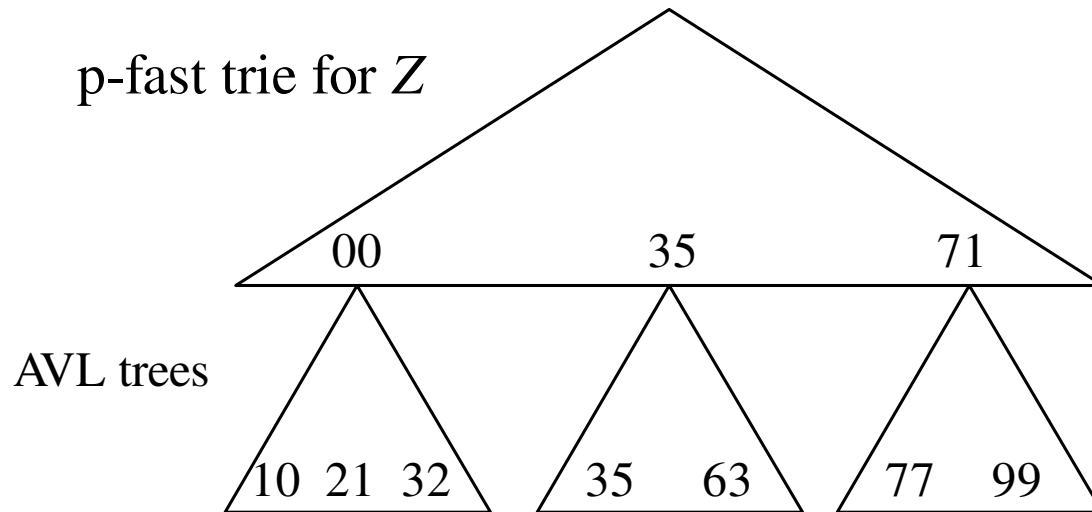
q-fast trie は、この p-fast trie と、上記の複数の AVL tree から構成されます。

このとき、q-fast trie のサイズを  $(h, b, c)$  と書きます。

$(h, b)$  はそれぞれ p-fast trie の高さ と最大分岐数です(前回参照)。

## q-fast trie [図解]

---



集合  $S = \{10, 21, 32, 35, 63, 77, 99\}$  に対する  
サイズ  $(2, 10, 2)$  の q-fast trie

---

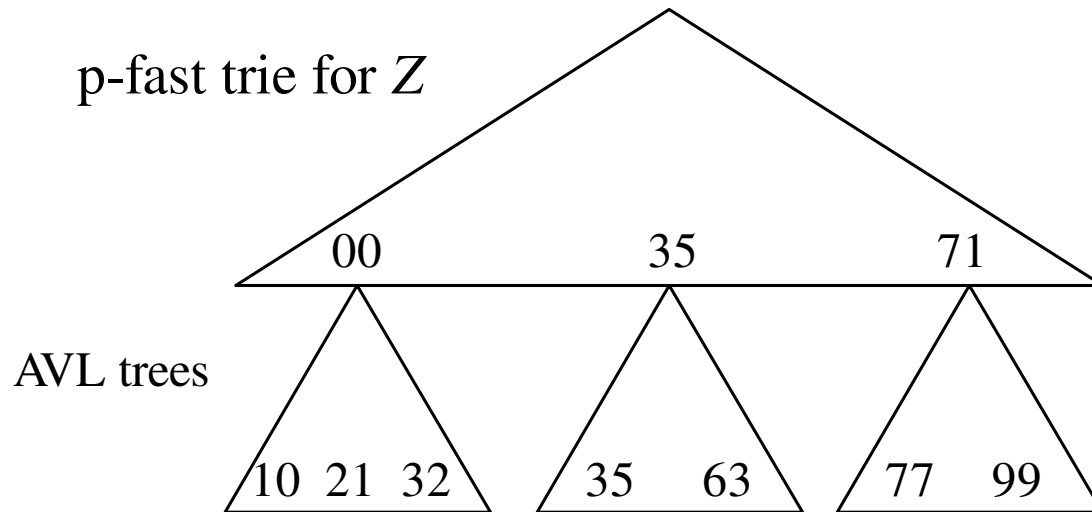
図で示すとこのような感じです。

集合  $S = \{10, 21, 32, 35, 63, 77, 99\}$  に対するサイズ  $(2, 10, 2)$  の q-fast trie の概念図です。  
それぞれの三角形は、木を表しています。

いま  $c = 2$  なので、 $S$  は 2~3 個の部分集合に分けられていて、それぞれの部分集合は AVL tree で管理されています。

(次スライドへ)

## q-fast trie [図解] (続き)



集合  $S = \{10, 21, 32, 35, 63, 77, 99\}$  に対する  
サイズ  $(2, 10, 2)$  の q-fast trie

各 AVL tree は、直前の部分集合の最大値より大きく、自身の部分集合の最大値以下の値が対応づけられています。

例えば、真ん中の AVL tree には 35 が対応づけられていて、 $32 < 35 \leq 63$  を満たしています。同様に、左端の AVL tree には 00、右端の AVL tree には 71 が対応づけられています。

この整数の集合  $Z = \{00, 35, 71\}$  に対する p-fast trie を構築して、下の AVL tree と連結して得られるデータ構造が q-fast trie です。

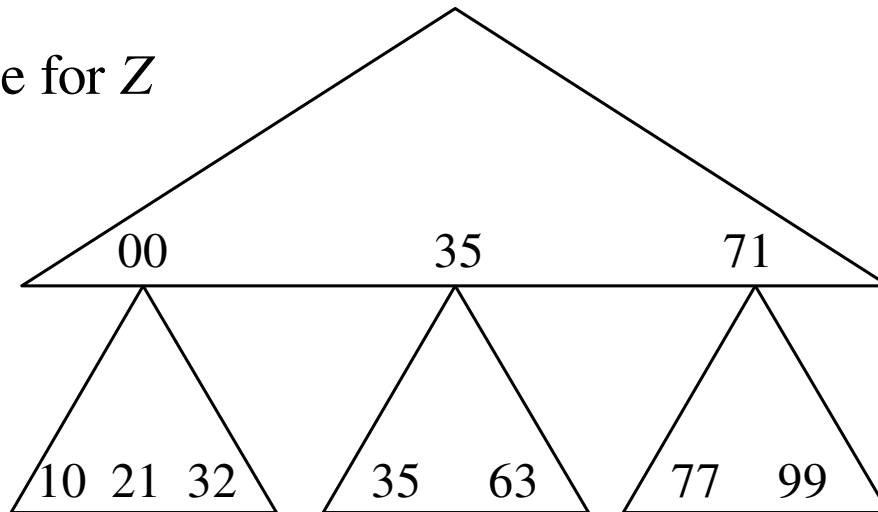
## successor with q-fast trie

successor(50, S) の求め方

1. p-fast trie を用いて  $y = \text{successor}(50, Z)$  を求める

p-fast trie for Z

AVL trees



では、この図を用いて、q-fast trie を使った successor クエリの応答方法を解説します。

いま  $S = \{10, 21, 32, 35, 63, 77, 99\}$  です。

ここで  $\text{successor}(50, S)$  を探すことを考えます。

まず、p-fast trie を用いて、 $\text{successor}(50, Z)$  を探します。

## successor with q-fast trie (続き)

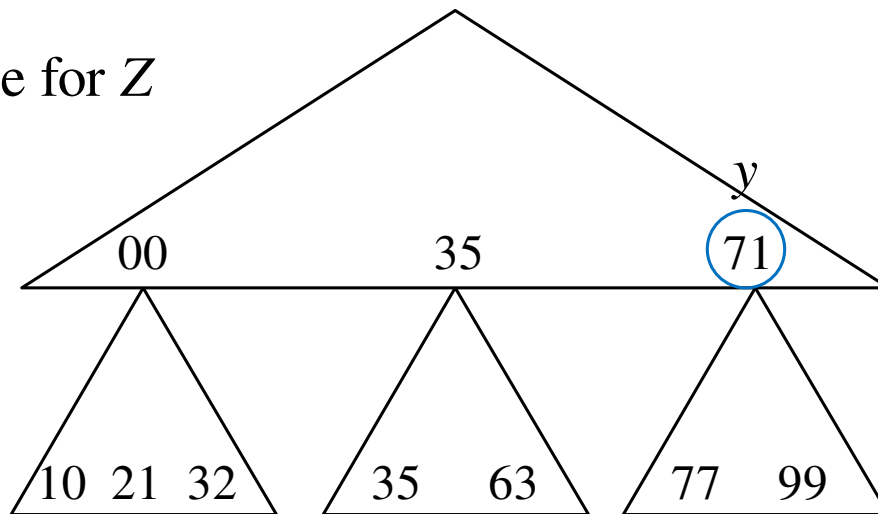
---

successor(50, S) の求め方

1. p-fast trie を用いて  $y = \text{successor}(50, Z)$  を求める

p-fast trie for Z

AVL trees



Z = {00, 35, 71} なので、  
successor(50, Z) = 71 です。これを y とおきます (y = 71)



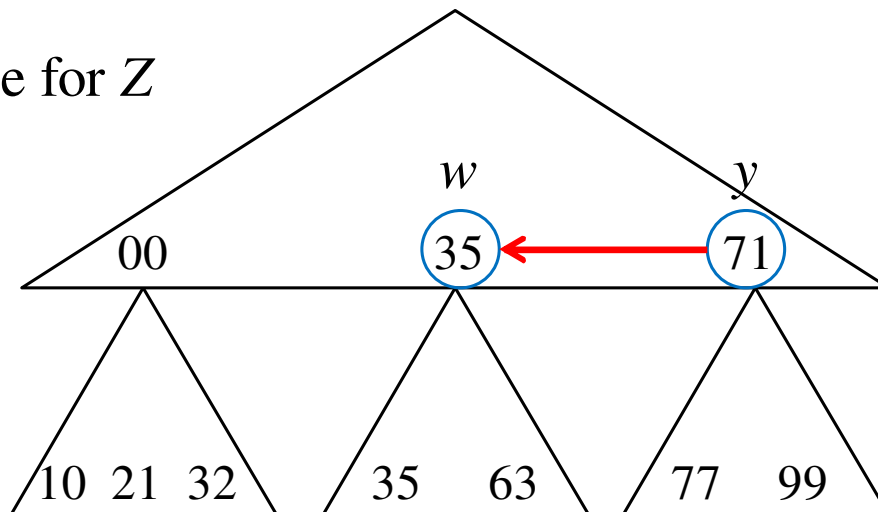
## successor with q-fast trie (続き)

successor(50, S) の求め方

2. 連結リストを用いて  $w = \text{predecessor}(y, Z)$  を求める

p-fast trie for Z

AVL trees



次に、 $\text{predecessor}(y, Z)$  を求めます。

いま、 $y = 71$  を表す p-fast trie の葉にいるので、双方向連結リストを辿ることで  $\text{predecessor}(y, Z) = 35$  が求められます。  
これを  $w$  とします ( $w = 35$ )



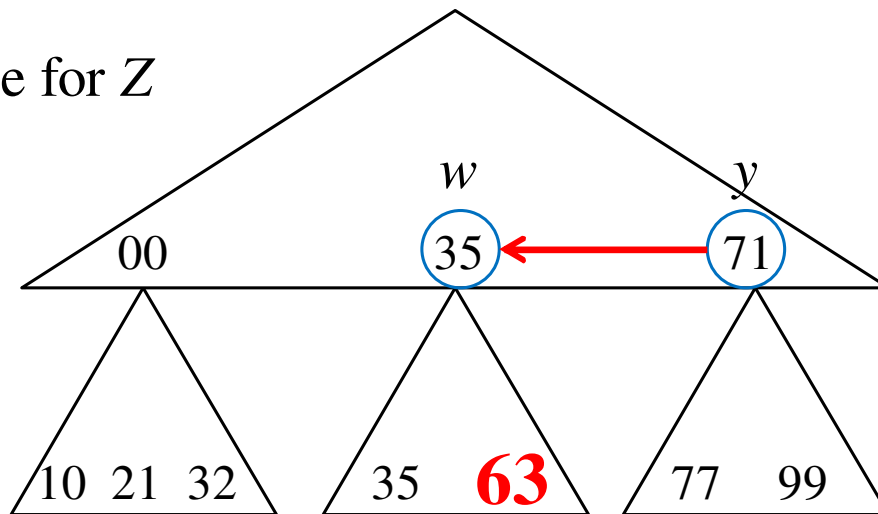
## successor with q-fast trie (続き)

### successor(50, S) の求め方

3.  $w$  と  $y$  を根とする AVL tree から successor(50, S) を求める

p-fast trie for Z

AVL trees



続いて、 $w$  と  $y$  を根とする2つの AVL tree を探索することで、 $\text{successor}(50, S)$  を求めます。場合分けがあります。

- (1)  $w$  の AVL tree に 50 の successor があるとき、その値を返す
- (2)  $w$  の AVL tree に 50 の successor がないとき
  - (2-1)  $y$  の AVL tree に 50 の successor があるとき、その値を返す
  - (2-2)  $y$  の AVL tree に 50 の successor がないとき、nil を返す

図は場合 (1) の例で、 $w$  中に 50 の successor 63 があるので、それを返します。

ここでは具体例を用いて説明しましたが、この方法で一般の場合でも、正しく successor を探すことができるのは明らかです。

## successor with q-fast trie

### 補題

サイズ  $(h, b, c)$  の q-fast trie を用いて、  
successor( $x, S$ ) を  $O(h + \log b + \log c)$  時間で  
計算できる。  
このとき q-fast trie の領域計算量は  $O(n(1+hb/c))$  .

### 【証明】

- ▶ p-fast trie の探索  $\rightarrow O(h + \log b)$  時間
- ▶ AVL tree の探索  $\rightarrow O(\log c)$  時間
- ▶ p-fast trie の領域  $\rightarrow O(n/c \times bh)$
- ▶ AVL tree の領域の合計  $\rightarrow O(n)$

q-fast trie を使った successor について、左の補題が成り立ちます。

サイズ  $(h, b, c)$  の q-fast trie を用いて、successor( $x, S$ ) を  $O(h + \log b + \log c)$  時間で計算できます。このとき q-fast trie の領域計算量は  $O(n(1+hb/c))$  となります。

まず時間計算量を証明します。

前回の講義で解説したように、p-fast trie の探索は  $O(h + \log b)$  時間です。

それぞれの AVL tree は  $c$  以上  $2c-1$  以下の要素を含むので、その高さは  $O(\log c)$  です。よって、AVL tree の探索は  $O(\log c)$  時間です。

この2つを足して、 $O(h + \log b + \log c)$  時間で successor を計算できる、ということになります。

## successor with q-fast trie (続き)

### 補題

サイズ  $(h, b, c)$  の q-fast trie を用いて、  
successor( $x, S$ ) を  $O(h + \log b + \log c)$  時間で  
計算できる。

このとき q-fast trie の領域計算量は  $O(n(1+hb/c))$  .

### 【証明】

- ▶ p-fast trie の探索  $\rightarrow O(h + \log b)$  時間
- ▶ AVL tree の探索  $\rightarrow O(\log c)$  時間
- ▶ p-fast trie の領域  $\rightarrow O(n/c \times bh)$
- ▶ AVL tree の領域の合計  $\rightarrow O(n)$

次に領域についてです。

それぞれの部分集合は少なくとも  $c$  個の要素を含むので、高々  $n/c$  個の部分集合が存在します。よって、AVL tree の個数も高々  $n/c$  です。

前回の講義で、要素数  $m$  の p-fast trie の領域は  $O(mbh)$  であることを解説しました。

$Z$  の要素数は AVL tree の個数に等しいので、 $m = n/c$  となり、 $Z$  に対する p-fast trie の領域は  $O(n/c \times bh)$  であることがわかります。

すべての AVL tree の頂点数は明らかに  $S$  の要素数  $n$  に等しいです。よって、AVL tree の領域は合計で  $O(n)$  になります。

足し合わせて、領域は  $O(n(1 + hb/c))$  ということになります。

## successor with q-fast trie

### 定理

successor( $x, S$ ) を  $O(\sqrt{\log u})$  時間で計算できる  
 $O(n)$  領域の q-fast trie が存在する.

### 【証明】

- ▶  $b = 2^{\sqrt{\log u}}$ ,  $h = \sqrt{\log u}$ ,  $c = hb = \sqrt{\log u} 2^{\sqrt{\log u}}$  とすると,  
補題より  $O(h + \log b + \log c) = O(\sqrt{\log u})$  時間  
領域は  $O(n(1+hb/c)) = O(n)$

前ページの補題から、直ちにこの定理が得られます。

successor( $x, S$ ) を  $O(\sqrt{\log u})$  時間で計算できる  $O(n)$  領域の q-fast trie が存在します。

パラメタ  $b$  と  $h$  の値は、前回の p-fast trie と同様に  $b = 2^{\sqrt{\log u}}$ ,  $h = \sqrt{\log u}$  と設定します。

また、パラメタ  $c$  を  $c = hb$  とします。

前ページの補題から、successor の時間は

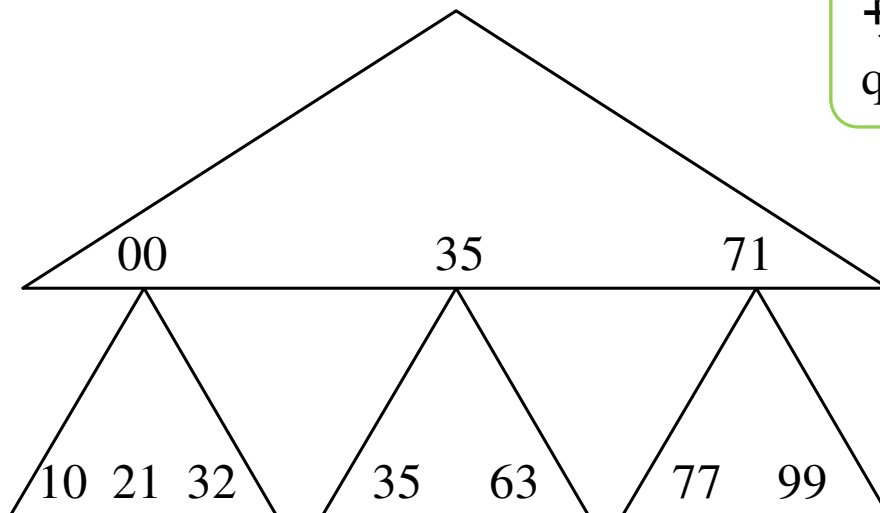
$$\begin{aligned} & O(h + \log b + \log c) \\ &= O(h + \log b + \log(hb)) \\ &= O(h + \log b + \log h + \log b) \\ &= O(h + \log b) \\ &= O(\sqrt{\log u}) \\ &\text{となります。} \end{aligned}$$

また、 $c = hb$  なので、領域は  $O(n(1+hb/c)) = O(n)$  となります。

以上でこの定理の証明は終わりです。

## insertion to q-fast trie

- ▶ insertion によって AVL tree のサイズが  $2c$  になったら, サイズ  $c$  の 2つの AVL tree に分割
- ▶ insert(5,  $S$ )



サイズ (2, 10, 2) の q-fast trie

続いて、q-fast trie を用いた要素の追加 (insertion) を考えていきましょう。

左図に示すサイズ (2, 10, 2) の q-fast trie を使って説明します。

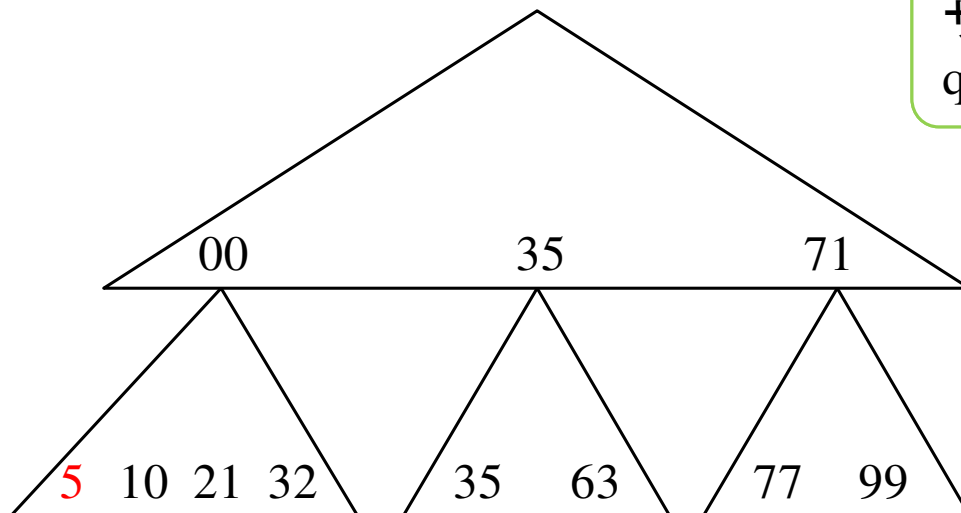
$c = 2$  であることを覚えておきましょう。

(p-fast trie の高さ  $h = 2$  と分岐の最大数 10 は図には陽に示していませんが、以降の解説には影響ありません)

この q-fast trie に新たな要素 5 を追加する insert(5,  $S$ ) を考えます。

## insertion to q-fast trie

- ▶ insertion によって AVL tree のサイズが  $2c$  になったら, サイズ  $c$  の 2つの AVL tree に分割
- ▶ insert(5, S)



サイズ (2, 10, 2) の q-fast trie

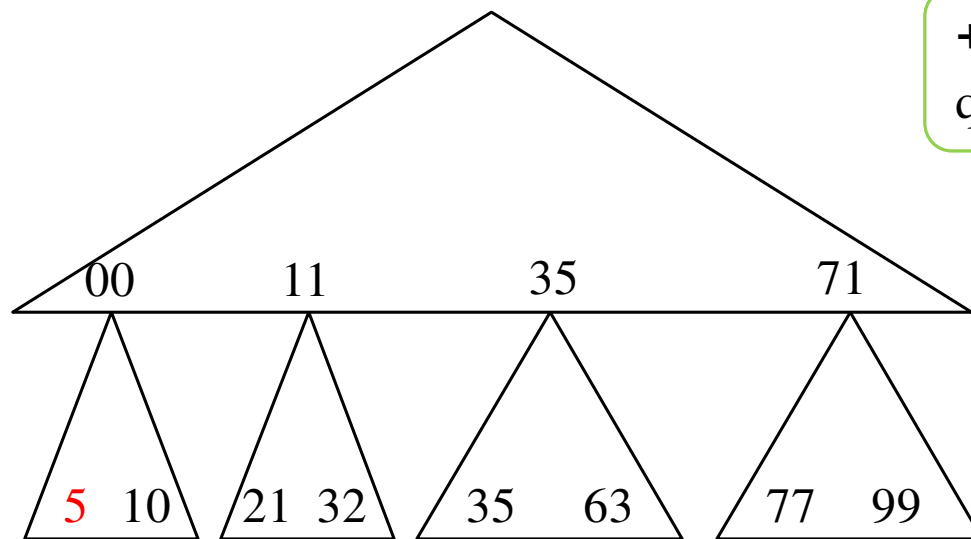
5 は  $S = \{10, 21, 32, 35, 63, 77, 99\}$  のどの要素よりも小さいので、左図のように、一番左の AVL tree に格納されることとなります。

ここで、 $c = 2$  なので、一番左の AVL tree は  $2c = 4$  個の要素を含んでしまいました。

q-fast trie の定義では、各 AVL tree は高々  $2c - 1 = 3$  個の要素しか含んではいけない決まりだったので、この AVL tree をサイズ  $c$  の 2つの AVL tree に分割します。

## insertion to q-fast trie

- ▶ insertion によって AVL tree のサイズが  $2c$  になったら, サイズ  $c$  の 2つの AVL tree に分割
- ▶ insert(5,  $S$ )



サイズ (2, 10, 2) の q-fast trie

分割後の AVL tree です。

{5, 10} に対する AVL tree には、元々の値 00 を対応付けておきます。

一方、{21, 32} に対する AVL tree には、定義を満たす任意の値 (ここでは 11) を対応付けます。(10 < 11 ≤ 32 を満たしていることを確認しましょう)

最後に、この 11 を p-fast trie が管理する集合  $Z$  に追加します。

以上が q-fast trie を使った insert のアルゴリズムです。

## insertion to q-fast trie

---

### 定理

q-fast trie における  $\text{insert}(x, S)$  に要する時間計算量は  $O(\sqrt{\log u})$  である。

### 【証明】

- ▶ p-fast trie での探索  $\rightarrow O(h + \log b)$  時間
- ▶ p-fast trie での lowkey/highkey の更新  $\rightarrow O(h)$  時間
- ▶ AVL tree への挿入  $\rightarrow O(\log c)$  時間
- ▶ AVL tree の分割  $\rightarrow O(\log c)$  時間

q-fast trie 上での insert 操作に関して、この定理が成り立ちます。

すなわち、q-fast trie 上での insert に要する時間計算量は  $O(\sqrt{\log u})$  で抑えられます。

証明の流れは以下のようになっています。

まず、新たな要素  $x$  が入るべき AVL tree を探すために、p-fast trie を探索します。  
これは  $O(h + \log b)$  時間でできます。

また、前ページの例のように、 $x$  の追加によって  $Z$  に新たな要素が加わる場合があります。  
このとき、p-fast trie で辿ったパス上にある頂点の lowkey / highkey を更新が生じる可能性があります  
が、これは  $O(h)$  時間でできます。

AVL tree への  $x$  の挿入は  $O(\log c)$  時間でできます。

(次スライドへ)



## insertion to q-fast trie (続き)

---

### 定理

q-fast trie における  $\text{insert}(x, S)$  に要する時間計算量は  $O(\sqrt{\log u})$  である。

### 【証明】

- ▶ p-fast trie での探索  $\rightarrow O(h + \log b)$  時間
- ▶ p-fast trie での lowkey/highkey の更新  $\rightarrow O(h)$  時間
- ▶ AVL tree への挿入  $\rightarrow O(\log c)$  時間
- ▶ AVL tree の分割  $\rightarrow O(\log c)$  時間  
どうやればこの時間でできるでしょう？

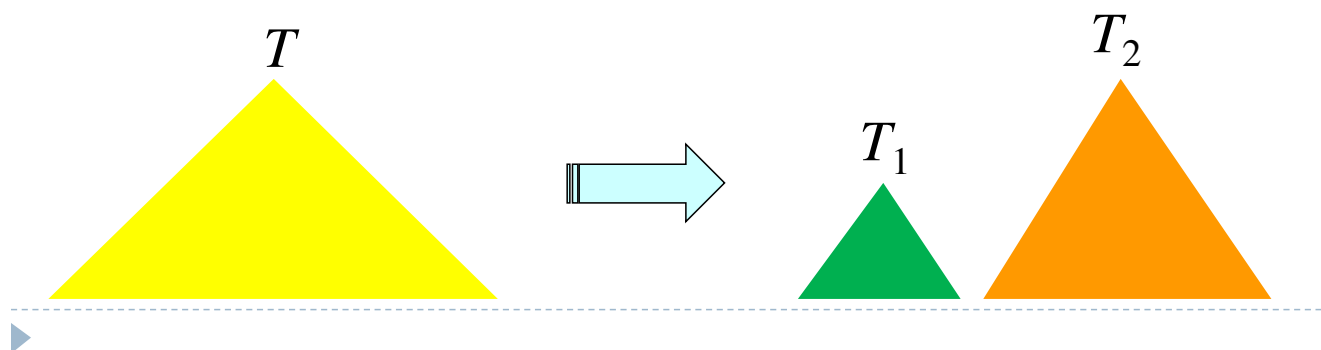
最後に、AVL tree の要素数が  $2c$  になった場合に、先ほどの例のように、AVL tree を分割する必要があります。

仮にこの分割を  $O(\log c)$  時間でできるとすると、合計で  $O(h + \log b + \log c) = O(\sqrt{\log u})$  時間で q-fast trie 上の insert を実現できることとなります。

残る課題は、AVL tree を  $O(\log c)$  時間で分割する方法です。

## 演習問題 【AVL tree の分割】

- ▶ 集合  $X = \{x_1, x_2, \dots, x_k\}$  に対する AVL-tree を  $T$  とする.
- ▶  $T$  を  $X_1 = \{x_1, \dots, x_j\}$ ,  $X_2 = \{x_{j+1}, \dots, x_k\}$  を格納する 2つの AVL tree  $T_1$  と  $T_2$  に分割する.
  - ▶ ただし  $j < k$  であり,  $X_1$  の各要素は  $X_2$  のどの要素よりも小さい.
- ▶ この分割を  $O(\log k)$  時間で行うことができる. そのアイデアを示せ.



今回の演習は、この AVL tree の分割方法についてです。

前ページの問題をこのように一般化します。

$T$  を集合  $X = \{x_1, x_2, \dots, x_k\}$  に対する AVL tree とします。この集合  $X$  の要素は、昇順に並んでいるとします (つまり,  $x_1 < x_2 < \dots < x_k$ )

ある  $j$  が与えられたとき,  $X$  の前半  $j$  個を含む部分集合を  $X_1$ 、残りの後半部分を含む部分集合を  $X_2$  とします。

$X$  に対する AVL tree  $T$  を,  $X_1$  に対する AVL tree  $T_1$  と,  $X_2$  に対する AVL tree  $T_2$  に分割します。

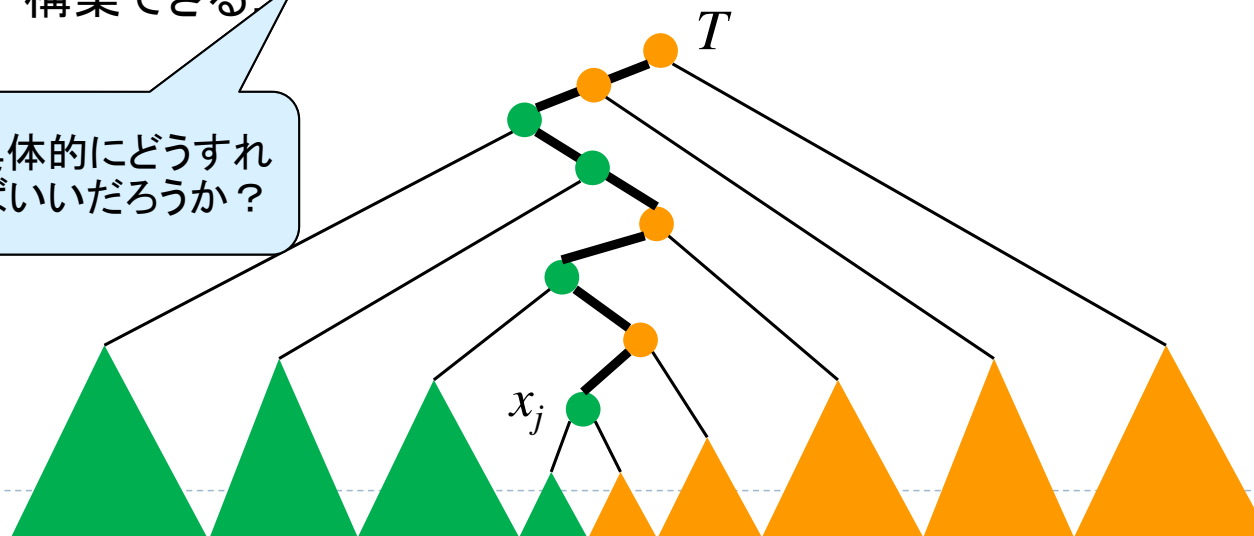
この分割を  $O(\log k)$  時間で行うことができます (ここで  $k = |X|$ )

その方法のアイデアを示してください。

## ヒント

- ▶  $T$  上で  $x_j$  を探索したときのパスを考える.
- ▶ このパスで  $T$  を分割することによって,  $x_j$  以下の要素を含む部分木(緑)と,  $x_j$  より大きい要素を含む部分木(橙)がそれぞれ  $O(\log k)$  個できる.
- ▶ これらを 上手く 結合することで,  $O(\log k)$  時間で  $T_1$  と  $T_2$  を構築できる.

具体的にどうすればいいだろうか?



この演習問題は難易度が高めなので、ヒントを出します。

ALV tree  $T$  上で  $x_j$  ( $X_1$  の最大の要素)を探索したときのパスを考えます。  
図では、このパスを太線で表しています。

このパスを境にして、 $x_j$  以下の要素を含む部分木(緑部分)と、 $x_j$  より大きい要素を含む部分木(オレンジ)に分けることができます。

このとき、緑の部分木の個数、およびオレンジの部分木の個数は、どちらも  $O(\log k)$  です。  
(まずこの理由を考察してみましょう)

さらに、これらを上手く結合することで、 $O(\log k)$  時間で  $T_1$  と  $T_2$  を構築することができます。

この「上手い結合」の方法を、第2回で学んだAVL treeの性質をフルに活用することで実現できます。

その具体的な方法を解説してください、というのが今回の演習課題です。

## お知らせ

---

- ▶ 今回の演習課題はやや難易度の高い問題なので、解答のための時間を2週間とり。

演習問題の**提出×切を6/25(木) 23:59**とします。

- ▶ これにともない、来週6/19(金)は**休講**とします。
- 
- ▶

今回の演習課題はやや難易度の高い問題なので、解答のための時間を2週間とり、

演習問題の**提出×切を6/25(木) 23:59**とします。  
(次のページの提出方法を守ってください)

これにともない、来週6/19(金)は**休講**とします。

今週の講義内容は以上です。

## 演習問題の pdf について

---

以下の要領に従って演習問題の pdf を作成してください。

- ▶ ファイル名は 学籍番号\_lastname.pdf とする。  
例) 2IE00099Z\_inenaga.pdf
- ▶ pdf の1ページ目の最初に  
「第XX回 演習問題」「学籍番号」「氏名」を明記する。
- ▶ 留学生は英語で作成しても構いません。  
Foreign students may write their answers in English  
if they feel it easier and more comfortable.

演習問題の pdf を作成する際には、この要領に従ってください。

